

VYSOKÁ ŠKOLA BÁŇSKÁ – TECHNICKÁ UNIVERZITA OSTRAVA  
FAKULTA STAVEBNÍ

# INŽENÝRSKÉ STATICKÉ VÝPOČTY

Deformační metoda: řešení rámových soustav, prutové  
konstrukce zatížené teplotou

Jiří Brožovský

Kancelář: LP – H 406/3  
Telefon: 597 321 321

E-mail: [jiri.brozovsky@vsb.cz](mailto:jiri.brozovsky@vsb.cz)

# Algoritmus obecné deformační metody

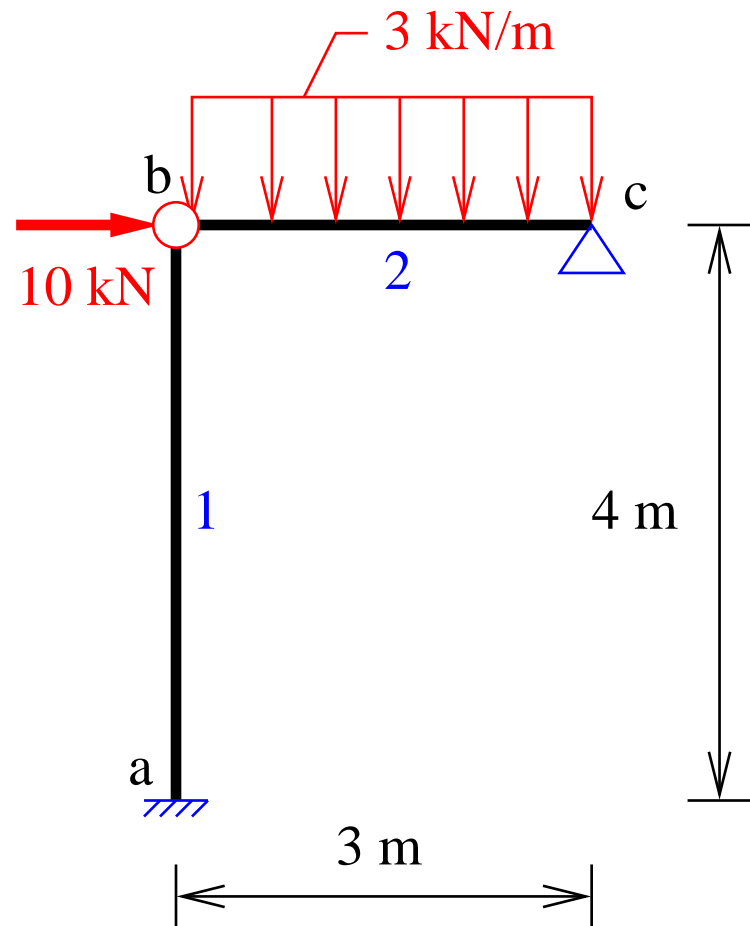
1. Stanovení stupně přetvárné neurčitosti a neznámých.
2. Sestavení lokálních matic tuhosti prutů  $K_{ij}^*$ .
3. Transformace do globálního systému souřadnic  $K_{ij} = T^T \times K_{ij}^* \times T$
4. Lokalizace  $K_{ij}$  do matice tuhosti konstrukce  $K$
5. Výpočet primárních vektorů  $R_{ij}^*$  na prutech a jejich transformace do globálních souřadnic:  $R_{ij} = T^T \times R_{ij}^*$
6. Lokalizace členů  $R_{ij}$  do vektoru zatížení konstrukce  $F$
7. Zavedení styčníkových zatížení do vektoru zatížení konstrukce  $F$
8. Výpočet  $u$  řešením rovnice  $K \times u = F$ .
9. Sestavení vektorů deformací prutů  $u_{ij}$  z vektoru  $u$
10. Převedení  $u_{ij}$  do lokálních souřadnic:  $u_{ij}^* = T \times u_{ij}$
11. Výpočet koncových sil na prutech:  $F_{ij}^* = K_{ij}^* \times u_{ij}^*$
12. Vykreslení výsledků apod.

# Příklad 1: pravoúhlý rám (1)

**Zadání:** Stanovte průběhy vnitřních sil na zadaném rámu se zadanými parametry.

Veličina	Hodnota	Jednotka
$E$	20	GPa
$A_1$	0.02	$m^2$
$A_2$	0.01	$m^2$
$I_{z1}$	$16,7 \times 10^{-6}$	$m^4$
$I_{z2}$	$8,3 \times 10^{-6}$	$m^4$

Stupeň přetvárné neurčitosti určete tak, at je  
v úloze co nejméně neznámých.



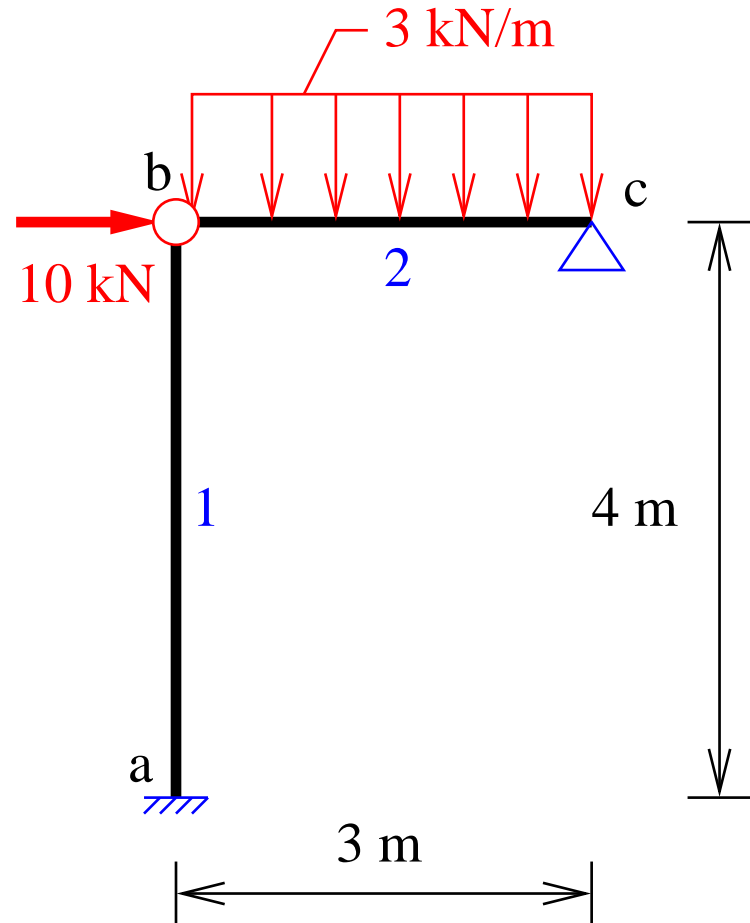
# Příklad 1: pravoúhlý rám (2)

Stupeň statické neurčitosti:

$$s_n = v - 3 + 3 \times u - k = 5 - 3 \times 0 - 1 = 1$$

Stupeň přetvárné neurčitosti:

- Styčník  $a$ : 0 (všechny 3 deformace jsou známé).
- Styčník  $b$ : 2 (prut  $a - b$  má i pootočení, ale to se nepřenáší do žádného dalšího prutu – nepotřebujeme ho).
- Styčník  $c$ : 0 (všechny 2 posunutá jsou známá, pootočení bychom možné počítat, ale není důvod – nepřenáší se do žádného dalšího prutu, ani do podpory).



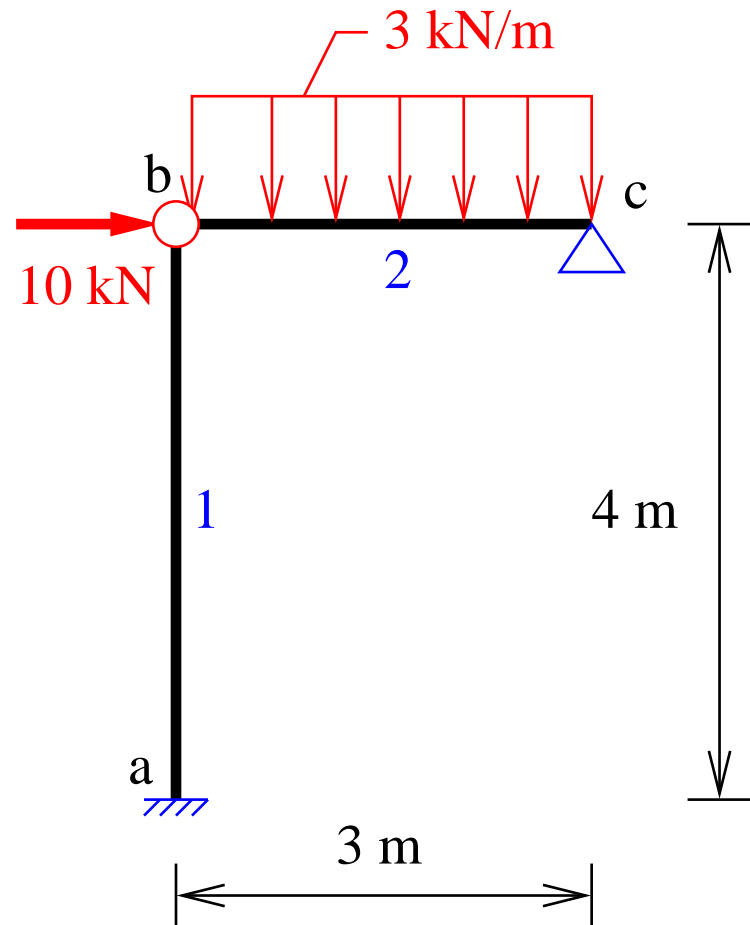
Tedy stupeň přetvárné neurčitosti je 2 a neznámé budou  $u_b, w_b$ .

# Příklad 1: pravoúhlý rám (3)

Jaké pruty použijeme:

- $a - b$ : oboustranně pružně upnutý (|---|)
- $b - c$ : oboustranně pružně upnutý (|---|)

A použijeme jen členy matic vztahující se k  $u_b, w_b$ .



Alternativně můžeme použít:

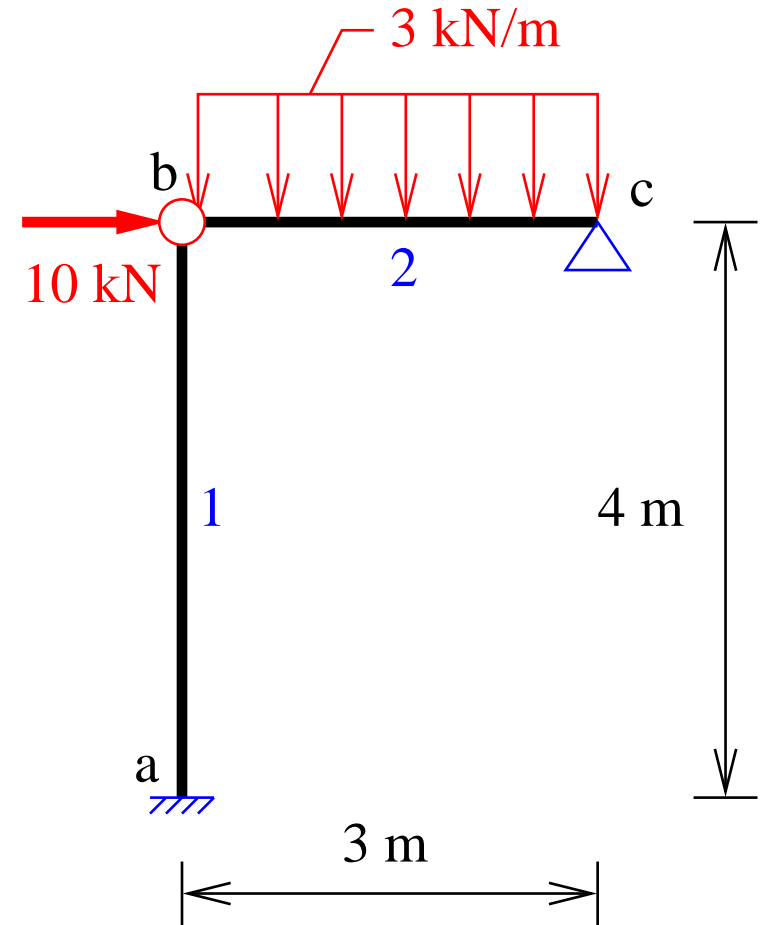
- $a - b$ : v  $a$  pružně upnutý, v  $b$  kloub (|---○)
- $b - c$ : v  $b$  kloub, v  $c$  pružně upnutý (○---|)

Konečné výsledky budou stejné.

# Příklad 1: pravoúhlý rám (4)

Matice tuhosti konstrukce:

$$\left[ \begin{array}{c|cc} & u_b & w_b \\ \hline u_b & k_{1,1} & k_{1,2} \\ w_b & k_{2,1} & k_{2,2} \end{array} \right]$$



Vektor uzlových zatížení konstrukce:

$$\left\{ \begin{array}{l} F_{xb} \\ F_{zb} \end{array} \right\}$$

Vektor (uzlových) deformací konstrukce:

$$\left\{ \begin{array}{l} u_b \\ w_b \end{array} \right\}$$

# Příklad 1: pravoúhlý rám (5)

Matice tuhosti prutu 1 ( $a - b$ ):

$$\mathbf{K}_{ab}^* = \left[ \begin{array}{c|cccccc} & u_a & w_a & \varphi_a & u_b & w_b & \varphi_b \\ \hline u_a & \frac{E A_1}{L_1} & 0 & 0 & -\frac{E A_1}{L_1} & 0 & 0 \\ w_a & 0 & \frac{12 EI_1}{L_1^3} & -\frac{6 EI_1}{L_1^2} & 0 & -\frac{12 EI_1}{L_1^3} & -\frac{6 EI_1}{L_1^2} \\ \varphi_a & 0 & -\frac{6 EI_1}{L_1^2} & \frac{4 EI_1}{L_1} & 0 & \frac{6 EI_1}{L_1^2} & \frac{2 EI_1}{L_1} \\ u_b & -\frac{E A_1}{L_1} & 0 & 0 & \frac{E A_1}{L_1} & 0 & 0 \\ w_b & 0 & -\frac{12 EI_1}{L_1^3} & \frac{6 EI_1}{L_1^2} & 0 & \frac{12 EI_1}{L_1^3} & \frac{6 EI_1}{L_1^2} \\ \varphi_b & 0 & -\frac{6 EI_1}{L_1^2} & \frac{2 EI_1}{L_1} & 0 & \frac{6 EI_1}{L_1^2} & \frac{4 EI_1}{L_1} \end{array} \right]$$

# Příklad 1: pravoúhlý rám (6)

Matice tuhosti prutu 1 ( $a - b$ ) s čísly:

$$\mathbf{K}_{ab} =$$

	$u_a$	$w_a$	$\varphi_a$	$u_b$	$w_b$	$\varphi_b$
$u_a$	$1e08$	$0$	$0$	$-1e08$	$0$	$0$
$w_a$	$0$	$6.262e04$	$-1.2525e05$	$0$	$-2.505e05$	$-1.252e05$
$\varphi_a$	$0$	$-1.252e05$	$3.3400e05$	$0$	$1.252e05$	$1.670e05$
$u_b$	$1e08$	$0$	$0$	$-1e08$	$0$	$0$
$w_b$	$0$	$-6.262e04$	$1.2525e05$	$0$	$6.262e04$	$1.252e05$
$\varphi_b$	$0$	$-1.252e05$	$1.6700e05$	$0$	$1.252e05$	$3.340e05$

Prut neleží v ose  $x$ , tuto matici v *lokálních souřadnicích* tedy budeme po se-stavení ještě muset transformovat do „správné“ polohy.

# Příklad 1: pravoúhlý rám (7)

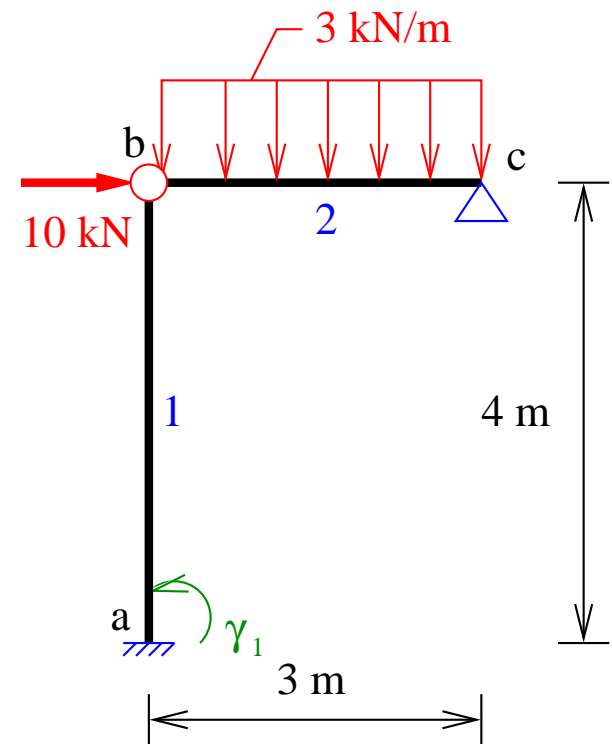
Transformační matice pro prut  $a - b$ :

$$\sin(\gamma_1) = \sin(-\pi/2) = 1$$

$$\cos(\gamma_1) = \sin(-\pi/2) = 0$$

$$T_{ab} = \begin{bmatrix} \cos\gamma_1 & \sin\gamma_1 & 0 & 0 & 0 & 0 \\ -\sin\gamma_1 & \cos\gamma_1 & 0 & 0 & 0 & 0 \\ 0 & 0 & 1 & 0 & 0 & 0 \\ 0 & 0 & 0 & \cos\gamma_1 & \sin\gamma_1 & 0 \\ 0 & 0 & 0 & -\sin\gamma_1 & \cos\gamma_1 & 0 \\ 0 & 0 & 0 & 0 & 0 & 1 \end{bmatrix}$$

$$= \begin{bmatrix} 0 & -1 & 0 & 0 & 0 & 0 \\ 1 & 0 & 0 & 0 & 0 & 0 \\ 0 & 0 & 1 & 0 & 0 & 0 \\ 0 & 0 & 0 & 0 & -1 & 0 \\ 0 & 0 & 0 & 1 & 0 & 0 \\ 0 & 0 & 0 & 0 & 0 & 1 \end{bmatrix}$$



# Příklad 1: pravoúhlý rám (8)

Transformace matice tuhosti prutu 1 ( $a - b$ ) do globálních souřadnic:

$$\mathbf{K}_{ab} = \mathbf{T}_{ab}^T \times \mathbf{K}_1^* \times \mathbf{T}_{ab} =$$

	$u_a$	$w_a$	$\varphi_a$	$u_b$	$w_b$	$\varphi_b$
$u_a$	$6.262e04$	0	$1.252e05$	$-2.505e05$	0	$1.252e05$
$w_a$	0	$1e08$	0	0	$-1e08$	0
$\varphi_a$	$1.252e05$	0	$3.340e05$	$-1.252e05$	0	$1.670e05$
$u_b$	$-6.262e04$	0	$-1.252e05$	$6.262e04$	0	$-1.252e05$
$w_b$	0	$1e08$	0	0	$-1e08$	0
$\varphi_b$	$1.252e05$	0	$1.670e05$	$-1.252e05$	0	$3.340e05$

# Příklad 1: pravoúhlý rám (9)

Pro sestavení matice tuhosti **konstrukce** potřebujeme jen členy v pozicích  $u_b, w_b$  (viz dole), ale v pozdějších fázích výpočtu se bude celá matice hodit pro výpočet koncových sil – proto jsme ji hned sestavili celou.

	$u_a$	$w_a$	$\varphi_a$	$u_b$	$w_b$	$\varphi_b$
$u_a$	$6.262e04$	0	$1.252e05$	$-2.505e05$	0	$1.252e05$
$w_a$	0	$1e08$	0	0	$-1e08$	0
$\varphi_a$	$1.252e05$	0	$3.340e05$	$-1.252e05$	0	$1.670e05$
$u_b$	$-6.262e04$	0	$-1.252e05$	$6.262e04$	0	$-1.252e05$
$w_b$	0	$1e08$	0	0	$-1e08$	0
$\varphi_b$	$1.252e05$	0	$1.670e05$	$-1.252e05$	0	$3.340e05$

# Příklad 1: pravoúhlý rám (10)

Vybrané členy  $K_{ab}$  (tučně):

	$u_a$	$w_a$	$\varphi_a$	$u_b$	$w_b$	$\varphi_b$
$u_a$	<b><math>6.262e04</math></b>	0	$1.252e05$	$-2.505e05$	0	$1.252e05$
$w_a$	0	$1e08$	0	0	$-1e08$	0
$\varphi_a$	$1.252e05$	0	$3.340e05$	$-1.252e05$	0	$1.670e05$
$u_b$	$-6.262e04$	0	$-1.252e05$	<b><math>6.262e04</math></b>	0	$-1.252e05$
$w_b$	0	$1e08$	0	0	$-1e08$	0
$\varphi_b$	$1.252e05$	0	$1.670e05$	$-1.252e05$	0	$3.340e05$

vložíme do  $K$ :

$$K = \left[ \begin{array}{c|cc} & u_b & w_b \\ \hline u_b & k_{1,1} & k_{1,2} \\ w_b & k_{2,1} & k_{2,2} \end{array} \right] = \left[ \begin{array}{c|cc} & u_b & w_b \\ \hline u_b & 6.262e04 & 0 \\ w_b & 0 & -1e08 \end{array} \right]$$

Připomenutí: hodnoty do  $K$  přičítáme (pokud do jednoho členu  $K$  přispívá více  $K_{ij}$  z více prutů, tak se všechny tyto hodnoty sečtou).

# Příklad 1: pravoúhlý rám (11)

Matice tuhosti prutu 2 ( $b - c$ ):

$$\mathbf{K}_{bc}^* = \left[ \begin{array}{c|cccccc} & u_b & w_b & \varphi_b & u_c & w_c & \varphi_c \\ \hline u_b & \frac{E A_1}{L_1} & 0 & 0 & -\frac{E A_1}{L_1} & 0 & 0 \\ w_b & 0 & \frac{12 EI_1}{L_1^3} & -\frac{6 EI_1}{L_1^2} & 0 & -\frac{12 EI_1}{L_1^3} & -\frac{6 EI_1}{L_1^2} \\ \varphi_b & 0 & -\frac{6 EI_1}{L_1^2} & \frac{4 EI_1}{L_1} & 0 & \frac{6 EI_1}{L_1^2} & \frac{2 EI_1}{L_1} \\ u_c & -\frac{E A_1}{L_1} & 0 & 0 & \frac{E A_1}{L_1} & 0 & 0 \\ w_c & 0 & -\frac{12 EI_1}{L_1^3} & \frac{6 EI_1}{L_1^2} & 0 & \frac{12 EI_1}{L_1^3} & \frac{6 EI_1}{L_1^2} \\ \varphi_c & 0 & -\frac{6 EI_1}{L_1^2} & \frac{2 EI_1}{L_1} & 0 & \frac{6 EI_1}{L_1^2} & \frac{4 EI_1}{L_1} \end{array} \right]$$

# Příklad 1: pravoúhlý rám (12)

Matice tuhosti prutu 2 ( $b - c$ ) s čísly:

$$\mathbf{K}_{bc} =$$

	$u_b$	$w_b$	$\varphi_b$	$u_c$	$w_c$	$\varphi_c$
$u_b$	$6.666e7$	0	0	$-6.666e07$	0	0
$w_b$	0	$1.417e5$	$-1.160e5$	0	$-4.253e5$	$-1.160e5$
$\varphi_b$	0	$-1.160e5$	$2.320e5$	0	$1.160e5$	$1.160e5$
$u_c$	$-6.666e7$	0	0	$-6.666e07$	0	0
$w_c$	0	$-1.417e5$	$1.160e5$	0	$1.417e5$	$1.160e5$
$\varphi_c$	0	$-1.160e5$	$1.160e5$	0	$1.160e5$	$2.320e5$

# Příklad 1: pravoúhlý rám (12)

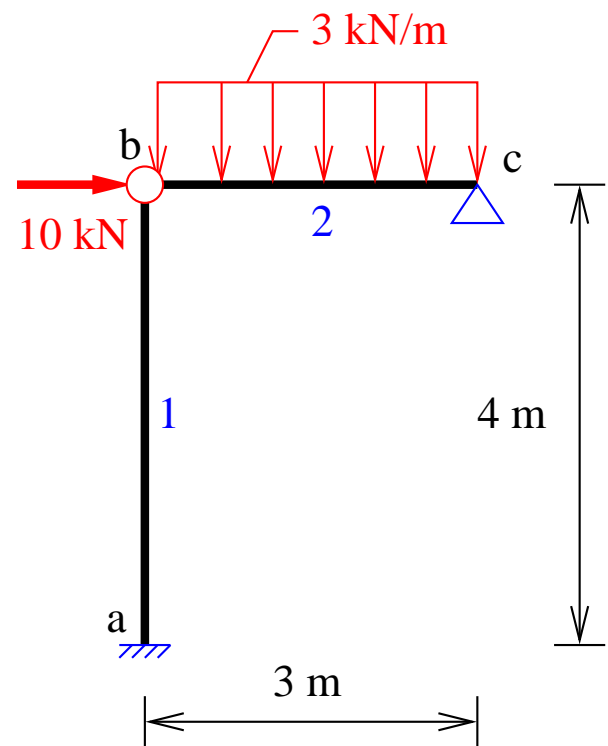
Transformační matice pro prut  $b - c$ :

$$\sin(\gamma_1) = \sin(0) = 0$$

$$\cos(\gamma_1) = \sin(0) = 1$$

$$T_{bc} = \begin{bmatrix} \cos\gamma_1 & \sin\gamma_1 & 0 & 0 & 0 & 0 \\ -\sin\gamma_1 & \cos\gamma_1 & 0 & 0 & 0 & 0 \\ 0 & 0 & 1 & 0 & 0 & 0 \\ 0 & 0 & 0 & \cos\gamma_1 & \sin\gamma_1 & 0 \\ 0 & 0 & 0 & -\sin\gamma_1 & \cos\gamma_1 & 0 \\ 0 & 0 & 0 & 0 & 0 & 1 \end{bmatrix}$$

$$= \begin{bmatrix} 1 & 0 & 0 & 0 & 0 & 0 \\ 0 & 1 & 0 & 0 & 0 & 0 \\ 0 & 0 & 1 & 0 & 0 & 0 \\ 0 & 0 & 0 & 1 & 0 & 0 \\ 0 & 0 & 0 & 0 & 1 & 0 \\ 0 & 0 & 0 & 0 & 0 & 1 \end{bmatrix}$$



# Příklad 1: pravoúhlý rám (13)

Transformace matice tuhosti prutu 1 ( $b - b$ ) do globálních souřadnic:

$$\mathbf{K}_{bc} = \mathbf{T}_{bc}^T \times \mathbf{K}_1^* \times \mathbf{T}_{bc} =$$

	$u_b$	$w_b$	$\varphi_b$	$u_c$	$w_c$	$\varphi_c$
$u_b$	$6.666e7$	0	0	$-6.666e07$	0	0
$w_b$	0	$1.417e5$	$-1.160e5$	0	$-4.253e5$	$-1.160e5$
$\varphi_b$	0	$-1.160e5$	$2.320e5$	0	$1.160e5$	$1.160e5$
$u_c$	$-6.666e7$	0	0	$-6.666e07$	0	0
$w_c$	0	$-1.417e5$	$1.160e5$	0	$1.417e5$	$1.160e5$
$\varphi_c$	0	$-1.160e5$	$1.160e5$	0	$1.160e5$	$2.320e5$

Samozřejmě zde musí platit  $\mathbf{K}_{bc}^* = \mathbf{K}_{bc}$ , protože prut leží v ose  $x$ .

# Příklad 1: pravoúhlý rám (14)

Vybrané členy  $K_{bc}$  (tučně):

	$u_b$	$w_b$	$\varphi_b$	$u_c$	$w_c$	$\varphi_c$
$u_b$	6.666e7	0	0	-6.666e07	0	0
$w_b$	0	1.417e5	-1.160e5	0	-4.253e5	-1.160e5
$\varphi_b$	0	-1.160e5	2.320e5	0	1.160e5	1.160e5
$u_c$	-6.666e7	0	0	-6.666e07	0	0
$w_c$	0	-1.417e5	1.160e5	0	1.417e5	1.160e5
$\varphi_c$	0	-1.160e5	1.160e5	0	1.160e5	2.320e5

vložíme do  $K$ :

$$K = \left[ \begin{array}{c|cc} & u_b & w_b \\ \hline u_b & k_{1,1} & k_{1,2} \\ w_b & k_{2,1} & k_{2,2} \end{array} \right] = \left[ \begin{array}{c|cc} & u_b & w_b \\ \hline u_b & 6.273e7 & 0 \\ w_b & 0 & -9.986e7 \end{array} \right]$$

Připomenutí: hodnoty do  $K$  přičítáme (už jsou tam hodnoty z  $K_{ab}$ !).

# Příklad 1: pravoúhlý rám (15)

Sestavení zatěžovacího vektoru – síla v uzlu  $b$ :

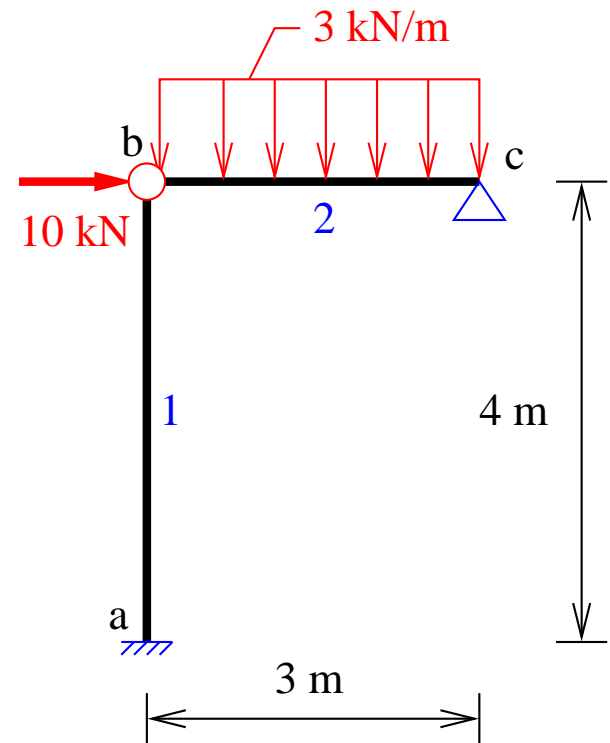
$$F = \left\{ \begin{array}{c} F_{bx} \\ F_{bz} \end{array} \middle| \begin{array}{c} 10000 \\ 0 \end{array} \right\}$$

Sestavení zatěžovacího vektoru – primární účinky na prutu  $b - c$ :

$$F_{bc}^* = F_{bc} \left\{ \begin{array}{c} -\frac{nL}{2} \\ -\frac{qL}{2} \\ -\frac{qL^2}{12} \\ -\frac{nL}{2} \\ -\frac{qL}{2} \\ -\frac{qL^2}{12} \end{array} \right\} = \left\{ \begin{array}{c} 0 \\ -4500 \\ -2255 \\ 0 \\ -4500 \\ 2255 \end{array} \right\}$$

Tedy výsledný zatěžovací vektor s uzlovými i primárními účinky:

$$F = \left\{ \begin{array}{c} F_{bx} \\ F_{bz} \end{array} \middle| \begin{array}{c} 10000 \\ 4500 \end{array} \right\} = \left\{ \begin{array}{c} 10000 \\ 4500 \end{array} \right\}$$



# Příklad 1: pravoúhlý rám (16)

Řešení soustavy rovnic:

$$\begin{bmatrix} 6.273e7 & 0 \\ 0 & -9.986e7 \end{bmatrix} \times \begin{bmatrix} u_b \\ w_b \end{bmatrix} = \begin{Bmatrix} 10000 \\ 4500 \end{Bmatrix}$$

Vyjde (např. výpočtem v tabulkovém kalkulátoru):

$$\begin{bmatrix} u_b \\ w_b \end{bmatrix} = \begin{bmatrix} 0.00015 \\ 0.000045 \end{bmatrix} [m]$$

Tedy uzel  $b$  se posune doprava a dolů.

Nyní bude potřeba převést výsledky do lokálních souřadnic jednotlivých prutů a dopočítat koncové síly.

# Příklad 1: pravoúhlý rám (17)

Ze znalosti vektoru posunutí konstrukce  $\mathbf{u}$ :

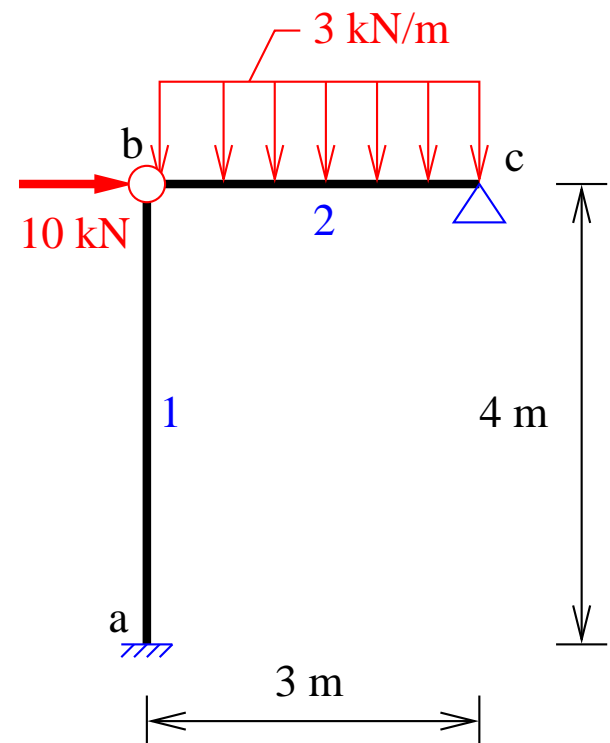
$$\mathbf{u} = \begin{bmatrix} u_b \\ w_b \end{bmatrix} = \begin{bmatrix} 0.00015 \\ 0.000045 \end{bmatrix} [m]$$

sestavíme vektor koncových deformací prutu  $a - b$ :

$$\mathbf{u}_{ab} = \left\{ \begin{array}{c|c} u_a & 0 \\ w_a & 0 \\ \varphi_a & 0 \\ u_b & 0.0015 \\ w_b & 0.000045 \\ \varphi_b & 0 \end{array} \right\}$$

Transformujeme do lokálních souřadnic:

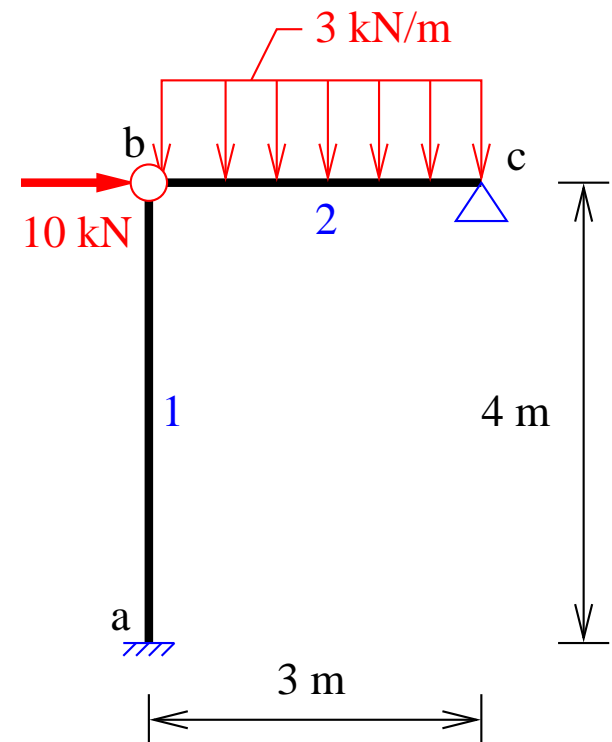
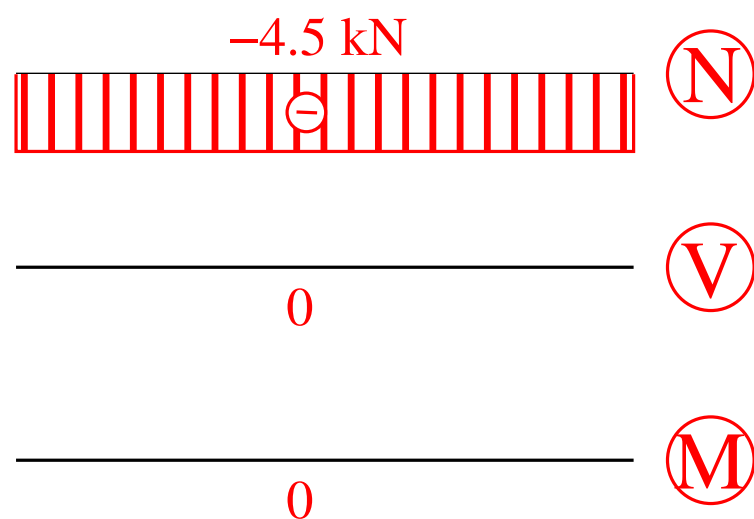
$$\mathbf{u}_{ab}^* = \mathbf{T}_{ab} \times \mathbf{u}_{ab} = \left\{ \begin{array}{c} 0 \\ 0 \\ 0 \\ 0.000045 \\ -0.00015 \\ 0 \end{array} \right\}$$



# Příklad 1: pravoúhlý rám (18)

Vypočítáme koncové síly na prutu  $a - b$

$$F_{ab}^* = K_{ab}^* \times u_{ab}^* = \left\{ \begin{array}{c} 4500 \\ 0 \\ 0 \\ -4500 \\ 0 \\ 0 \end{array} \right\} [N, Nm]$$



# Příklad 1: pravoúhlý rám (19)

Ze znalosti vektoru posunutí konstrukce  $\mathbf{u}$ :

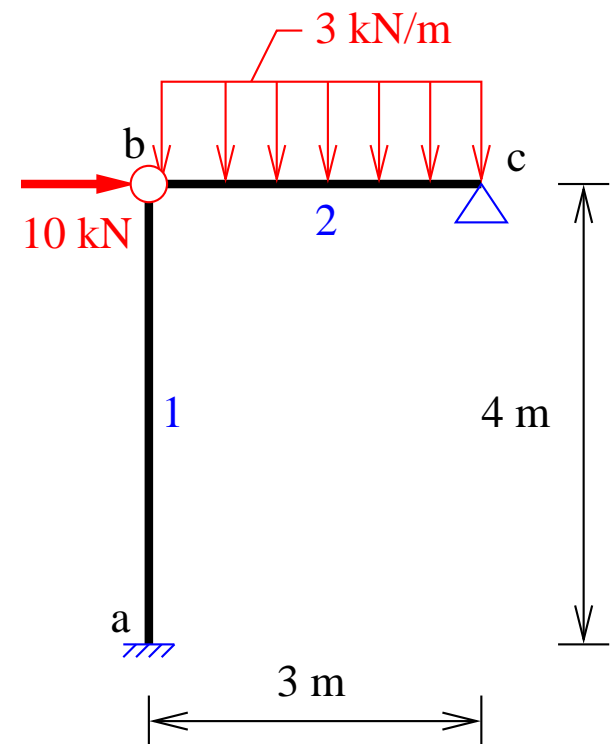
$$\mathbf{u} = \begin{bmatrix} u_b \\ w_b \end{bmatrix} = \begin{bmatrix} 0.00015 \\ -0.000045 \end{bmatrix} [m]$$

sestavíme vektor koncových deformací prutu  $b - c$ :

$$\mathbf{u}_{bc} = \left\{ \begin{array}{c|c} u_b & 0.0015 \\ w_b & -0.000045 \\ \varphi_b & 0 \\ u_c & 0 \\ w_c & 0 \\ \varphi_c & 0 \end{array} \right\}$$

Transformujeme do lokálních souřadnic:

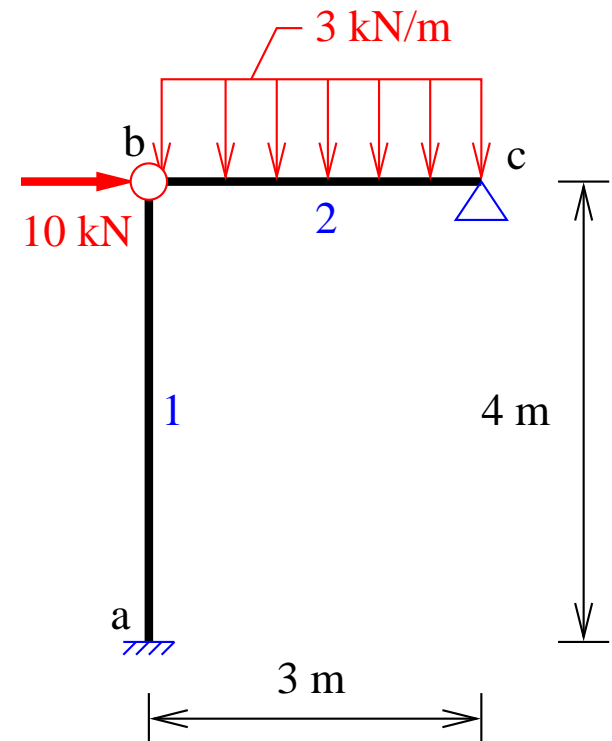
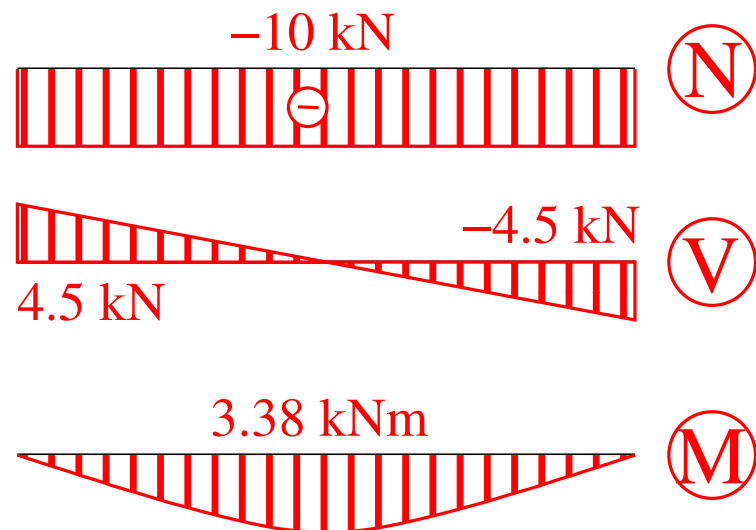
$$\mathbf{u}_{bc}^* = \mathbf{T}_{bc} \times \mathbf{u}_{bc} = \left\{ \begin{array}{c} 0.00015 \\ -0.000045 \\ 0 \\ 0 \\ 0 \\ 0 \end{array} \right\}$$



# Příklad 1: pravoúhlý rám (20)

Vypočítáme koncové síly na prutu  $b - c$

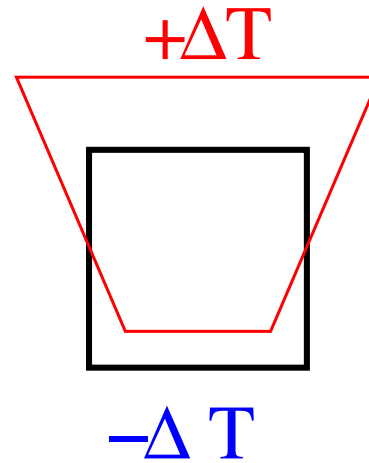
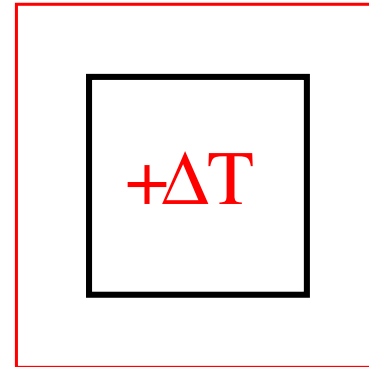
$$\mathbf{F}_{ab}^* = \mathbf{K}_{ab}^* \times \mathbf{u}_{ab}^* = \begin{Bmatrix} 10000 \\ 0 \\ 0 \\ -10000 \\ 0 \\ 0 \end{Bmatrix} [N, Nm]$$



P.S. Je nutné také započítat vliv primárních sil (zde spojité zatížení)!

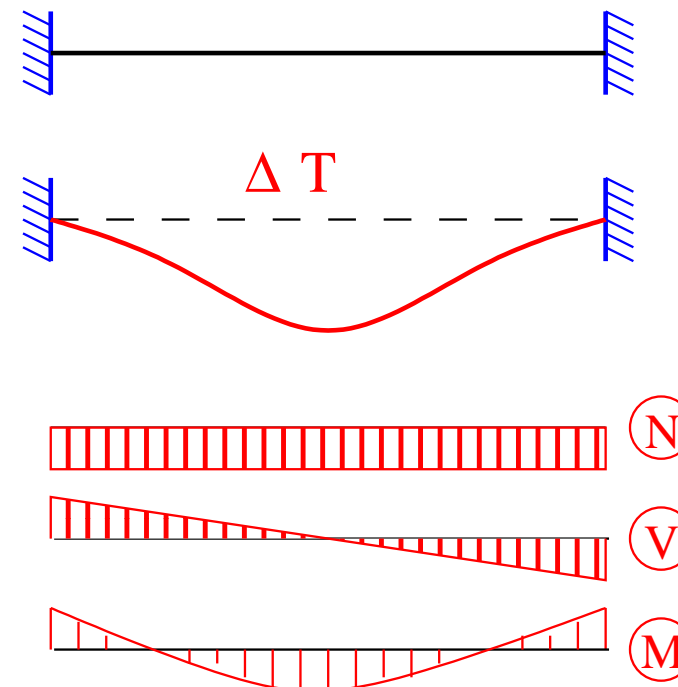
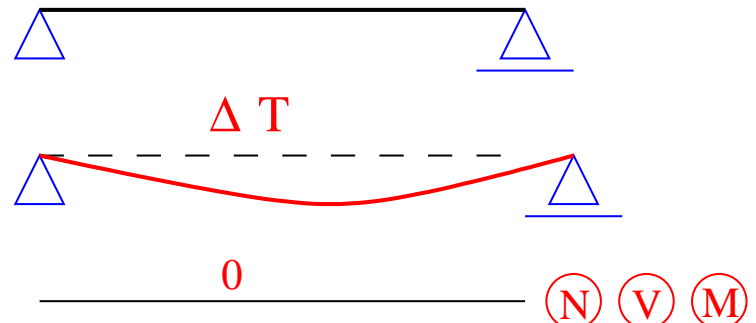
# Vliv změny teploty (1)

- Každá konstrukce má nějakou **výchozí teplotu** (při které byla sestavena nebo kterou byla navržena).
- Při této teplotě by měla mít minimální vnitřní síly.
- **Změny teploty** (ohřátí nebo ochlazení) vyvolávají **objemové změny** prvků konstrukce.
- Změna teploty může být:
  - rovnoměrná ve všech místech konstrukce (prvku),
  - nerovnoměrná.
- Změna teploty může, ale nemusí vyvolat dodatečné vnitřní síly v konstrukci (viz dále).



# Vliv změny teploty (2)

- Změna teploty obecně **neovlivňuje vnitřní síly** na **staticky určité konstrukci**.
- Pozor na detaily konstrukcí! (např. kombinace 2 materiálů, nebo detaily, které jsou samy o sobě staticky neurčité).
- Změna teploty **vždy** způsobí **deformaci konstrukce**.
- Ve staticky **neurčitých konstrukcích** změna teploty má **vždy** vždy vliv na **vnitřní síly**.

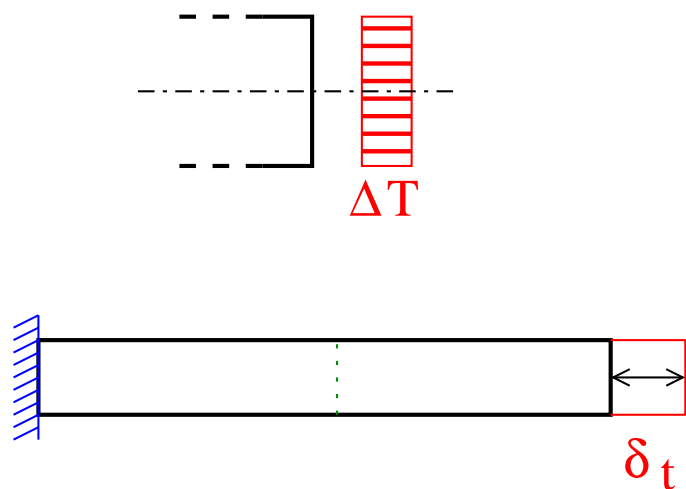


# Rovnoměrná změny teploty po průřezu (1)

- Pokud je nosník ohříván/ochlazován **rovnoměrně po výšce i šířce průřezu** dochází k osovému prodloužení nebo zkrácení nosníku.
- Pozor: prakticky **a přibližně** nastane jen u velmi štíhlých konstrukcí (ocel, hliník aj.), kde zase musíte dát pozor na další jevy (stabilita,...).
- Z pružnosti:

$$\delta_T = \alpha_t \int_0^L \Delta T dx,$$

$\delta_T$  ... osová deformace,  $\alpha_t$  součinitel teplozní roztažnosti,  $\Delta T$  ... změna teploty.



**Poznámka:** zanedbáváme příčnou deformaci, ( $\nu \delta_T$ ).

# Rovnoměrná změny teploty po průřezu (2)

- Uvažujeme jen osovou deformaci, budeme tedy předpokládat jen vodorovné posuny a síly (ostatní případné vnitřní síly budou 0).
- V silové metodě uvážíme tedy jen neznámou veličinu  $X$  ve směru posunutí  $\delta_T$
- Přetvárná podmínka:

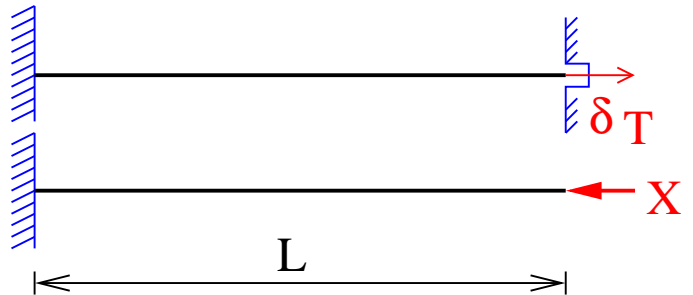
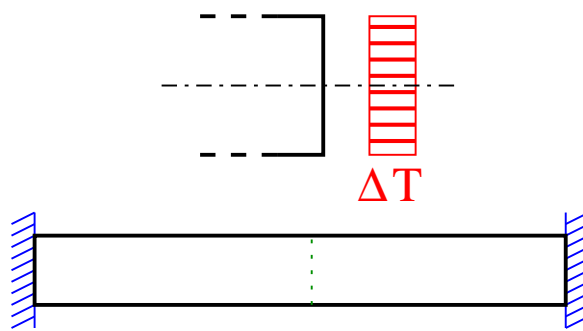
$$\delta_1 X_1 + \delta_T = 0$$

kde:

$$* \delta_1 = \int_0^L \frac{N\bar{N}}{EA} dx = \frac{1 \times L \times 1}{EA} = \frac{L}{EA}$$
$$* \delta_T = \alpha_t \int_0^L \Delta T dx = \alpha_t \Delta T \int_0^L dx = \alpha_t \delta_T L$$

- Tedy:

$$X_1 = N_b = -\frac{\delta_T}{\delta_1} = -E A \alpha_t \Delta T$$

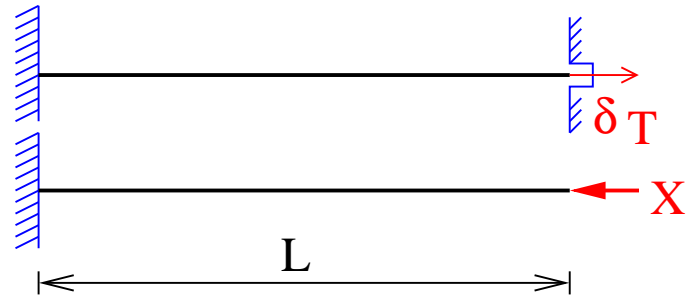
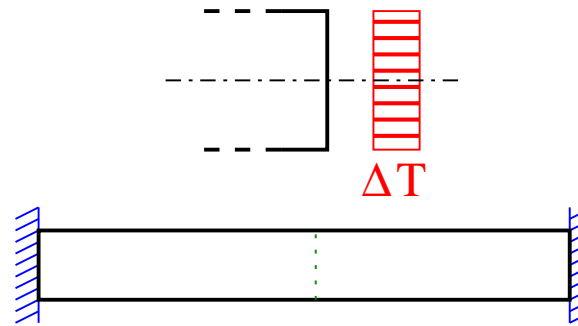


1 (N)

# Rovnoměrná změny teploty po průřezu (3)

Vektor **primárních** účinků tedy bude vypadat  
(pro libovolnou kombinaci kloubů a pružných  
upnutí):

$$F_{ab}^* = \begin{Bmatrix} -E A \alpha_t \Delta T \\ 0 \\ 0 \\ E A \alpha_t \Delta T \\ 0 \\ 0 \end{Bmatrix}$$



1 [red hatched bar] N

# Příklad 2: rám s rovnoměrnou změnou teploty (1)

**Zadání:** Prut 2 ( $b - c$ ) rámu z **příkladu 1** je zatížen rovnoměrným ohřátím o  $10 \text{ K}$ . Stanovte vektor primárních sil prutu 2 a vypočítejte deformace konstrukce změny teploty.

Je zadáno:

- $\Delta T = 10 \text{ K}$

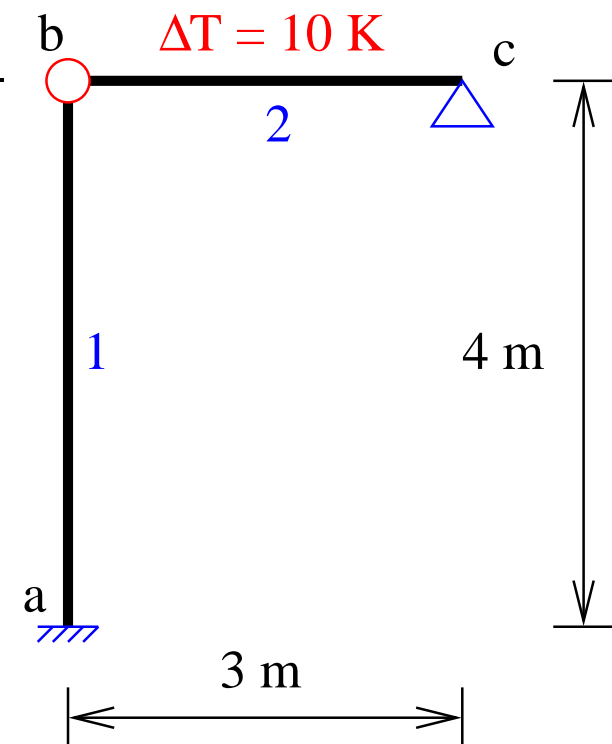
- $\alpha = 10 \times 10^{-6} \text{ K}^{-1}$

- $E = 20 \text{ GPa}$

- $A_2 = 0.01 \text{ m}^2$

P.S. Co je to za materiál s  $\alpha = 10 \times 10^{-6} \text{ K}^{-1}$ ?

P.P.S. Můžeme použít i jednotku [ ${}^\circ \text{C}^{-1}$ ]? Jak se bude lišit výpočet?



## Příklad 2: rám s rovnoměrnou změnou teploty (2)

Výpočet koncových sil:

$$N_a = -N_b = E A \alpha_t \Delta_T = 20 \times 10^9 \times 0.01 \times 10 \times 10^{-6} \times 10 = 200000 \text{ N}$$

Vektor koncových sil prutu  $b - c$ :

$$F_{bc}^* = \left\{ \begin{array}{c|c} N_b & -200000 \\ V_b & 0 \\ M_b & 0 \\ N_c & 200000 \\ V_c & 0 \\ M_c & 0 \end{array} \right\}$$

Vektor bychom měli transformovat do globálních souřadnic ( $F_{bc} = T^T \times F_{bc}^*$ ). Vzhledem k tomu, že prut leží v globální ose  $x$ , bude výsledek:  $F_{bc} = F_{bc}^*$ .

## Příklad 2: rám s rovnoměrnou změnou teploty (3)

Soustava lineárních rovnic pro zadanou konstrukci (matice tuhosti je převzata z **příkladu 1**):

$$\begin{bmatrix} 6.273e7 & 0 \\ 0 & -9.986e7 \end{bmatrix} \times \begin{bmatrix} u_b \\ w_b \end{bmatrix} = \begin{Bmatrix} -200000 \\ 0 \end{Bmatrix}$$

Získáme deformace:

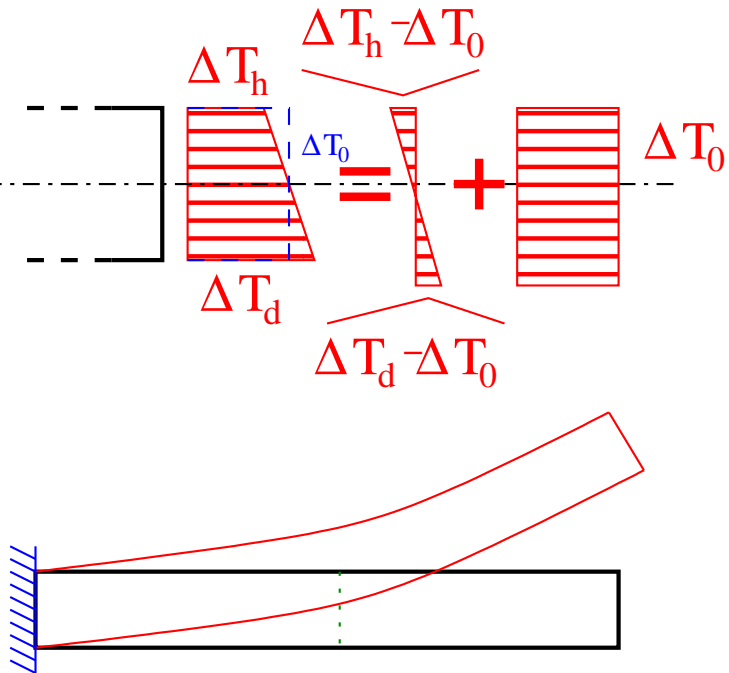
$$\mathbf{u} = \begin{Bmatrix} -3 \times 10^{-3} \\ 0 \end{Bmatrix}$$

Konstrukce se tedy posune **doleva** o 3 mm.

Pro zajímavost, normálová síla v prutu 2 ( $b - c$ ) bude \*200 kN (tlak), zatímco povoubající síly na koncích prutu 1 ( $a - b$ ) vyjdou cca |0.8| kN a momenty cca |0.4| kN m.

# Nerovnoměrná změny teploty po průřezu (1)

- Pokud je nosník ohříván/ochlazován **nerovnoměrně po výšce, případně i šířce průřezu** dochází k ohýbání nosníku (nenulové M, V) i k osové deformaci (N).
- Předpokládáme **lineární** změnu teploty po výšce průřezu
- Nerovnoměrnou, ale lineární, změnu teploty můžeme rozdělit na 2 části:
  - Rovnoměrou část ( $\Delta T_0$ ) – vyvolá prodloužení/zkrácení
  - Lineárně proměnnou část ( $\Delta T_1 = \Delta T_d - \Delta T_h$ ) – vyvolá ohyb nosníku



**Poznámka:** opět zanedbáváme příčnou deformaci, ( $\nu \delta_T$ ).

# Nerovnoměrná změny teploty po průřezu (2)

Posunutí krajních vláken v průřezu  $x$  podle pružnosti:

$$\alpha_t \times \Delta T_1$$

Pootočení průřezu potom bude

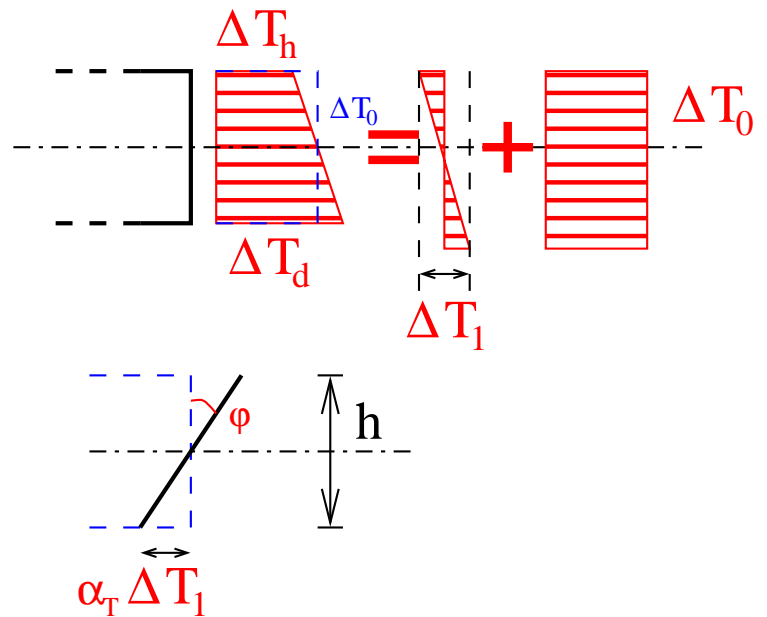
$$\varphi_x \approx \tan(\varphi_x) = \frac{\alpha_t \Delta T_1}{h}$$

Tedy pro celý nosník délky  $L$ :

$$\delta_T = \int_0^L \varphi_x dx = \int_0^L \overline{M} \times \frac{\alpha_t \Delta T_1}{h} dx$$

Kde:

- $\Delta T_1 = \Delta T_d - \Delta T_h$
- $\Delta T_0$  má procházet neutrálnou osou, tedy u symetrického průřezu:  $\Delta T_0 = \frac{\Delta T_d - \Delta T_h}{2}$



# Nerovnoměrná změny teploty po průřezu (3)

Výpočet pootočení konce prutu  $a$ :

$$\varphi_{ab} = \int_0^L \overline{M} \frac{\alpha_t \Delta T_1}{h} dx = \frac{\alpha_t \Delta T_1 L}{h}$$

Stejně bychom stanovili  $\varphi_{ba}$ :

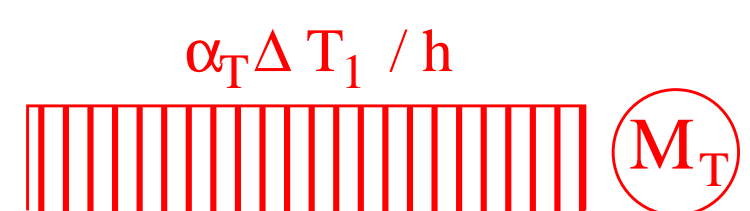
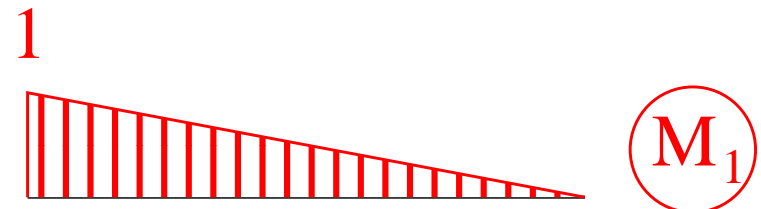
$$\varphi_{ba} = \int_0^L -\overline{M} \frac{\alpha_t \Delta T_1}{h} dx = -\frac{\alpha_t \Delta T_1 L}{h}$$

Protože ze silové metody (pozor na orientaci  $\varphi_{ba}$ ) víme, že  $M_a = \frac{2EI}{L}(\varphi_{ba} + 2\varphi_{ab})$  lze po dosazení získat:

$$M_a = \frac{1}{h} EI \alpha_t \Delta T_1$$

a podobně bychom dostali:

$$M_b = -\frac{1}{h} EI \alpha_t \Delta T_1$$



# Primární zatěžovací vektory od nerovnoměrné změny teploty

Prut oboustranně pružně upnutý:

$$\left\{ \begin{array}{c} EA\alpha_t \Delta T_0 \\ 0 \\ \frac{EI\alpha_t \Delta T_1}{h} \\ -EA\alpha_t \Delta T_0 \\ 0 \\ -\frac{EI\alpha_t \Delta T_1}{h} \end{array} \right\}$$

Prut jednostranně pružně upnutý s kloubem vpravo:

$$\left\{ \begin{array}{c} EA\alpha_t \Delta T_0 \\ -\frac{3EI\alpha_t \Delta T_1}{2hL} \\ \frac{3EI\alpha_t \Delta T_1}{h} \\ -EA\alpha_t \Delta T_0 \\ -\frac{3EI\alpha_t \Delta T_1}{2hL} \\ 0 \end{array} \right\}$$

Tyto vektory použijeme stejně jako dříve odvozené vektory od silových veličin působících na prutech.

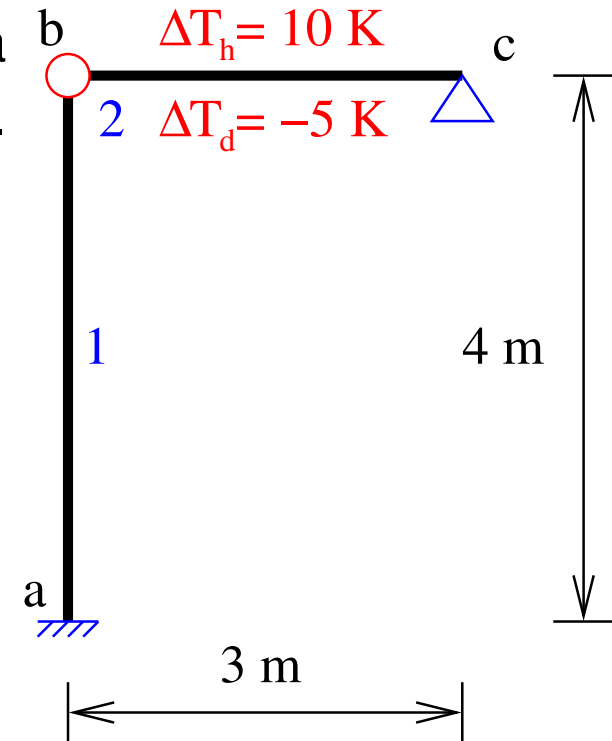
Pozn.: na oboustranně koloubově uloženém prutu má na vnitřní síly vliv pouze rovnoměrná složka změny teploty ( $\Delta T_0$ )!

# Příklad 3: rám s nerovnoměrnou změnou teploty (1)

**Zadání:** Prut 2 rámu z **příkladu 1** je zatížen ohřátím horního povrchu o  $10\text{ K}$  a dolního povrchu o  $5\text{ K}$ . Stanovte vektor primárních sil prutu 2 ( $b - c$ ) a vypočítejte deformace konstrukce od změny teploty.

Je zadáno:

- $\Delta T_h = 10\text{ K}$
- $\Delta T_d = 5\text{ K}$
- $\alpha = 10 \times 10^{-6}\text{K}^{-1}$
- $E = 20\text{ GPa}$
- $h = 0.1\text{ m}$
- $A_2 = 0.01\text{ m}^2$
- $I_{z2} = 8.3 \times 10^{-6}\text{ m}^4$



## Příklad 3: rám s nerovnoměrnou změnou teploty (2)

Výpočet teplot:

$$\Delta T_1 = T_d - T_h = 5 - 10 = -5 \text{ K}$$

$$\Delta T_0 = \frac{T_d + T_h}{2} = 5 + 10 = 7.5 \text{ K}$$

Výpočet koncových sil:

$$N_a = -N_b = E A \alpha_t \Delta_T = 20 \times 10^9 \times 0.01 \times 10 \times 10^{-6} \times 7.5 = 154000 kN$$

$$M_a = \frac{EI\alpha_t \Delta T_1}{h} = \frac{20 \times 10^9 \times 8.3 \times 10^{-6} \times 10 \times 10^{-6} \times -5}{0.1} = -830 Nm$$

$$M_b = -M_a = 830 Nm$$

## Příklad 3: rám s nerovnoměrnou změnou teploty (3)

Vektor koncových sil prutu  $b - c$ :

$$F_{bc}^* = \left\{ \begin{array}{c|cc} N_b & EA\alpha_t \Delta t_0 & -154e3 \\ V_b & 0 & 0 \\ M_b & \frac{EI\alpha_t \Delta T_1}{h} & -830 \\ N_c & -EA\alpha_t \Delta t_0 & 154e3 \\ V_c & 0 & 0 \\ M_c & -\frac{EI\alpha_t \Delta T_1}{h} & 830 \end{array} \right\}$$

Prut leží v globální ose  $x$ , bude výsledek:  $\mathbf{F}_{bc} = \mathbf{F}_{bc}^*$

# Příklad 3: rám s nerovnoměrnou změnou teploty (4)

Soustava lineárních rovnic pro zadanou konstrukci (matice tuhosti je převzata z **příkladu 1**):

$$\begin{bmatrix} 6.273e7 & 0 \\ 0 & -9.986e7 \end{bmatrix} \times \begin{bmatrix} u_b \\ w_b \end{bmatrix} = \begin{Bmatrix} -154e3 \\ 0 \end{Bmatrix}$$

Získáme deformace:

$$\mathbf{u} = \begin{Bmatrix} -2.3 \times 10^{-3} \\ 0 \end{Bmatrix}$$

Konstrukce se tedy posune **doleva** o  $2.3\text{ mm}$ .

Pro zajímavost, normálová síla v prutu 2 ( $b - c$ ) bude  $-154\text{ kN}$  (tlak), zatímco posoubající síly na koncích prutu 1 ( $a - b$ ) vyjdou cca  $|0.57|\text{ kN}$  a momenty cca  $|0.29|\text{ kN m}$ .